



УДК 621.318.3

© 2009

Член-корреспондент НАН України А. Е. Божко

## К анализу энергии движения якоря электромагнитного вибровозбудителя

*Наводяться аналітичні залежності між роботою, що проводиться в електромагнітно-му вібровозбуджувачі, та вхідною електричною енергією.*

Некоторые особенности энергетического баланса силовых электромагнитных механизмов (ЭМ) представлены в работе [1]. Однако электромагнитные вибровозбудители (ЭМВ), несмотря на физическое сходство с ЭМ, например контакторами, имеют свои специфические отличия. Если в ЭМ воздушный зазор  $\delta$  при включенном ЭМ может быть равным нулю, то в ЭМВ воздушный зазор  $\delta > 0$ . В ЭМ в динамическом режиме  $\delta$  изменяется от  $\delta_0$  до нуля (включение ЭМ) и от нуля до  $\delta_0$  (выключение ЭМ). В ЭМВ воздушный динамический зазор

$$\delta = \delta_0 - x_{\text{см}} \pm x(t), \quad (1)$$

где  $\delta_0$  — начальный воздушный зазор (ЭМВ не включен);  $x_{\text{см}} = x_{0P} + x_{0F}$ ;  $x_{0P}$ ,  $x_{0F}$  — постоянные смещения якоря ЭМВ от действия веса якоря с весовой нагрузкой  $P_{\text{я}}$  и от действия постоянной составляющей тягового усилия  $F_0$  соответственно;  $x(t)$  — колебания якоря;  $t$  — время.

Кроме того, ЭМВ конструктивно отличается от ЭМ тем, что в его конструкции может быть реактивная масса (РМ) со своими пружинами (Пр<sub>р</sub>). Якорь (Я) также подвешен на пружинах Пр<sub>я</sub>. Далее в ЭМВ воздушный зазор  $\delta$  при вибрировании якоря все время изменяется. Так, если вибрация якоря

$$x_{\text{я}}(t) = x_{\text{ая}} \sin(\omega_{\text{я}}t - \varphi_{\text{я}}), \quad (2)$$

где  $x_{\text{ая}}$  — амплитуда колебаний якоря;  $\omega_{\text{я}}$  — круговая частота колебаний якоря;  $\varphi_{\text{я}}$  — угол сдвига между переменной составляющей  $F_{\sim}(t)$  тягового усилия в ЭМВ и колебаниями  $x_{\text{я}}(t)$ , то с учетом (2) выражение (1) примет вид

$$\delta = \delta_0 - x_{0P} - x_{0F} \pm x_{\text{ая}} \sin(\omega_{\text{я}}t - \varphi_{\text{я}}). \quad (3)$$

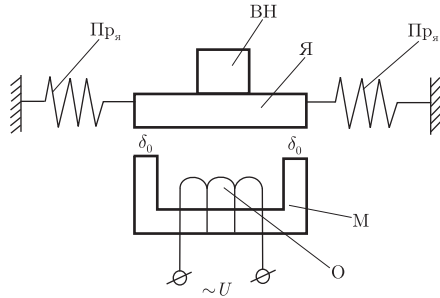


Рис. 1

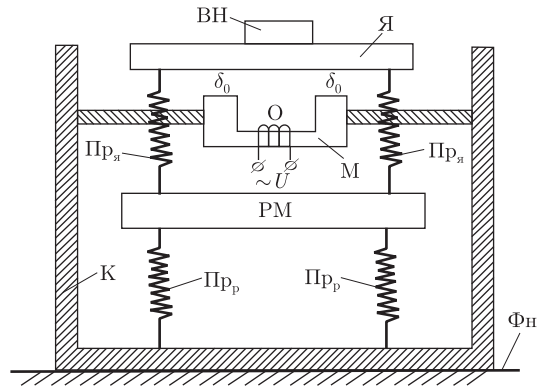


Рис. 2

Из (3) видно, что для того чтобы не было уменьшения  $\delta$  до нуля, необходимо выполнить условие

$$\delta_0 - x_{0P} - x_{0F} - x_{ая} > 0, \quad (4)$$

в противном случае якорь будет ударять магнитопровод ЭМВ. Для более детального анализа энергии движения якоря ЭМВ представим на рис. 1, 2 электромагнитомеханические схемы ЭМВ без РМ (рис. 1) и с РМ (рис. 2), где Я — якорь; ВН — весовая нагрузка; М — магнитопровод; О — электрическая обмотка; Пр<sub>я</sub>, Пр<sub>р</sub> — пружины;  $\delta_0$  — начальный воздушный зазор;  $U$  — задающее напряжение;  $U(t) = U_a \sin \omega t$  ( $U_a$  — амплитуда).

Под действием  $U(t)$  в обмотке О идет электрический ток  $i(t) = I_a \sin(\omega t - \varphi)$ , где  $I_a = U_a / \sqrt{R^2 + (\omega L)^2}$ ;  $\varphi = \arctg(\omega L / R)$  — угол сдвига между  $U(t)$  и  $i(t)$ ;  $R$  — активное сопротивление цепи обмотки О совместно с источником  $U(t)$ ;  $L$  — индуктивность в ЭМВ;  $\omega$  — круговая частота  $U(t)$ . Заметим, что если  $\omega L \gg R$ , то  $U(t)$  является выходом источника напряжения, если  $R \gg \omega L$ , то источник  $U(t)$  является источником тока. В зависимости от этих источников  $U(t)$  или  $i(t)$  энергетические соотношения в ЭМВ будут разными. В данной работе рассмотрим и этот вопрос. Процедуру анализа энергии в ЭМВ будем осуществлять последовательно: вначале для ЭМВ без РМ, а затем для ЭМВ с РМ.

Рассмотрим ЭМВ без РМ (рис. 1).

Пусть  $R$  и  $\omega L$  согласуются, тогда энергия, входящая в ЭМВ, записывается выражением

$$\begin{aligned} W_\Sigma &= \int_0^t U(t)i(t) dt = \int_0^t U_a \sin \omega t I_a \sin(\omega t - \varphi) dt = \\ &= \int_0^t \frac{U_a^2}{\sqrt{R^2 + (\omega L)^2}} \sin \omega t \sin(\omega t - \varphi) dt. \end{aligned} \quad (5)$$

В (5) используем тригонометрические преобразования [2]

$$\sin \alpha \sin \beta = \frac{1}{2} [\cos(\alpha - \beta) - \cos(\alpha + \beta)].$$

Тогда (5) примет вид

$$W_\Sigma = \frac{U_a^2 t \cos \varphi}{2\sqrt{R^2 + (\omega L)^2}} - \frac{U_a^2}{4\omega\sqrt{R^2 + (\omega L)^2}} \sin(2\omega t - \varphi). \quad (6)$$

Как видно из (6), входная энергия  $W_{\Sigma}$  распределена на две составляющие

$$W_{\Sigma 1} = \frac{U_a^2 t \cos \varphi}{2\sqrt{R^2 + (\omega L)^2}}, \quad W_{\Sigma 2} = -\frac{U_a^2 \sin(2\omega t - \varphi)}{4\omega\sqrt{R^2 + (\omega L)^2}}.$$

$W_{\Sigma 1}$  линейно увеличивается с увеличением  $t$ , а  $W_{\Sigma 2}$  осциллирует с частотой  $2\omega$ , являясь вычитаемой из  $W_{\Sigma 1}$ . В свою очередь

$$W_{\Sigma 2} = -\frac{U_a^2}{4\omega\sqrt{R^2 + (\omega L)^2}}(\sin 2\omega t \cos \varphi + \cos 2\omega t \sin \varphi).$$

При  $R \gg \omega L$   $\varphi = 0$  и

$$W_{\Sigma 1} = \frac{U_a^2 t}{2R}, \quad W_{\Sigma 2} = -\frac{U_a^2 \sin 2\omega t}{4\omega R}.$$

При  $R \ll \omega L$   $\varphi = \pi/2$  и

$$W_{\Sigma 1} = 0, \quad W_{\Sigma 2} = -\frac{U_a^2 \cos 2\omega t}{4\omega^2 R}.$$

Как видим, в этом случае  $W_{\Sigma 2}$  — реактивная энергия. Энергия  $W_{\Sigma}$  распределяется в ЭМВ на энергию потерь  $W_{\Pi}$  и энергию кинетическую  $W_{\text{К}}$ . Энергия  $W_{\Pi}$  — это энергия, рассеиваемая в виде тепла на  $R(W_{\text{T}})$ , в виде энергии, создающей вихревые токи  $W_{\text{В}}$ , в виде энергии, идущей на трение движущихся частей ЭМВ о воздух. Тепловая энергия рассеивания

$$W_{\text{T}} = \int_0^t Ri^2(t)dt = RI_a^2 \int_0^t \sin^2(\omega t - \varphi)dt = \frac{1}{2}RI_a^2 t - \frac{1}{4\omega}RI_a^2 \sin 2(\omega t - \varphi) \quad (7)$$

также имеет нарастающую составляющую и отрицательную осциллирующую с частотой  $2\omega$ .

При  $R \gg \omega L$

$$W_{\text{T}} = \frac{1}{2}\frac{U_a^2}{R}t - \frac{1}{4\omega}\frac{U_a^2}{R}\sin 2\omega t,$$

при  $R \ll \omega L$ , т.е. при  $R \approx 0$   $W_{\text{T}} \approx 0$  (см (7)).

Вследствие того, что магнитопровод и якорь состоят из шихтованных пластин, а ВН изолирована от Я немагнитным материалом, можно считать, что вихревые токи в ЭМВ малы, а также малы потери на гистерезис из-за наличия в ЭМВ постоянного воздушного зазора. Поэтому входная энергия  $W_{\Sigma}$  расходуется в ЭМВ на выделение тепла в  $R$ , на смещение  $x_{0F}$  якоря и на его вибрацию. При вибрации якоря возникают потери энергии из-за трения движущихся частей (пружин, платформы) о воздух, но они малы (ими можно пренебречь). Таким образом,

$$W_{\Sigma} = W_{\text{T}} + W_e = W_{\text{T}} + \frac{1}{2}Li^2(t),$$

где  $W_e$  — электрическая энергия, которая расходуется на смещение якоря и на его колебания совместно с ВН.

Баланс электрической энергии записывается выражением

$$\frac{1}{2}Li^2(t) = F_0x_{0F} + F_{\sim}x(t). \quad (8)$$

Далее определим  $F_0$ ,  $F_{\sim}$ ,  $x_{0F}$  и  $x(t)$

$$F_0 + F_{\sim} = F_{\Sigma},$$

где  $F_{\Sigma}$  — полное тяговое усилие в ЭМВ.

Известно [1], что тяговое усилие  $F_{\Sigma}$  определяется выражением

$$F_{\Sigma} = \frac{dW_e}{d\delta} = \frac{1}{2} \frac{d}{d\delta}(Li^2) = \frac{1}{2} \left( \frac{dL}{d\delta} i^2 + L \frac{di^2}{d\delta} \right). \quad (9)$$

Зная, что [3]  $L = w^2G = w^2\mu_0S/(2\delta)$ , где  $w$  — число витков обмотки;  $G$  — магнитная проводимость в ЭМВ;  $\mu_0$  — магнитная проницаемость воздуха;  $S$  — площадь поперечного сечения полюса магнитопровода у воздушного зазора, (9) запишем

$$F_{\Sigma} = \frac{1}{4}i^2w^2\frac{\mu_0S}{\delta^2} + \frac{1}{2}w^2\frac{\mu_0S}{2\delta} \frac{di^2}{d\delta}. \quad (10)$$

Подставим в (10)

$$i(t) = I_a \sin(\omega t - \varphi) = \frac{U_a}{\sqrt{R^2 + (\omega L)^2}} \sin(\omega t - \varphi) = \frac{U_a \sin(\omega t - \varphi)}{\sqrt{R^2 + \left(\frac{\omega \mu_0 S w^2}{2\delta}\right)^2}}.$$

Заметим, что угол  $\varphi$  имеет значение в переходном процессе электроцепи ЭМВ. В установившемся значении тока  $i(t)$  этот угол  $\varphi$  можно опустить. Тогда

$$i(t) = \frac{U_a \sin \omega t}{\sqrt{R^2 + \left(\frac{\omega \mu_0 S w^2}{2\delta}\right)^2}}.$$

Подставим эту величину тока в (10). Получим

$$F_{\Sigma} = \left(\frac{w}{2\delta}\right)^2 \mu_0 S \frac{U_a^2 \sin^2 \omega t}{R^2 + \left(\frac{\mu_0 S w^2 \omega}{2\delta}\right)^2} + \frac{\mu_0 S}{4\delta} w^2 \left\{ \frac{8\delta U_a^2 \sin^2 \omega t}{(2\delta R)^2 + (\omega \mu_0 S w^2)^2} - \frac{32U_a^2 \delta^3 R^2 \sin 2\omega t}{[(2\delta R)^2 + (\omega \mu_0 S w^2)^2]^2} \right\} = [J - V + Q + (Q - J - V) \cos 2\omega t], \quad (11)$$

где

$$Q = \frac{1}{2} \mu_0 S \left(\frac{U_a w}{2\delta}\right)^2 \left[ R^2 + \left(\frac{\mu_0 S w^2 \omega}{2\delta}\right)^2 \right]^{-1};$$

$$J = \mu_0 S (w U_a)^2 [(2\delta R)^2 + (\omega \mu_0 S w^2)^2]^{-1}; \quad V = 2\mu_0 S (U_a \delta R^2) [(2\delta R)^2 + (\omega \mu_0 S w^2)^2]^{-2}.$$

Из (11) видно, что постоянная составляющая  $F_0 = J - V + Q$ , а переменная  $F_{\sim} = (Q - J - V) \cos 2\omega t = F_a \cos 2\omega t$ .

Теперь для (8) необходимо получить  $x_{0F}$  и  $x(t)$ , а для (9) еще и  $x_{0P}$ . Для этого запишем дифференциальное уравнение движения якоря в ЭМВ. Подвижная система ЭМВ представляет собой колебательную систему с одной степенью свободы. Поэтому ее уравнение движения следующее:

$$m \frac{d^2 x}{dt^2} + b \frac{dx}{dt} + cx = F_{\Sigma} + P_{\text{я}}. \quad (12)$$

Здесь  $m$  — масса якоря;  $b$ ,  $c$  — коэффициенты диссипации и упругости соответственно.

Смещения  $x_{0P} = P_{\text{я}}/c$ ,  $x_{0F} = F_0/c$ ; переменное  $x(t) = x_a \cos(2\omega t - \Psi)$ , где [4]

$$x_a = \frac{F_a}{m \sqrt{(4\omega^2 - \omega_0^2)^2 + \left(\frac{2b\omega}{m}\right)^2}}, \quad \Psi = \arctg \frac{b\omega}{m(4\omega^2 - \omega_0^2)},$$

где  $P_{\text{я}}$  — вес якоря + ВН;  $\omega_0$  — собственная частота колебаний якоря.

Исходя из полученного решения (12), выражение (8) с учетом (11) примет вид

$$\begin{aligned} \frac{1}{2} Li^2(t) &= \frac{1}{4} L \left[ \frac{U_a^2}{R^2 + (\omega L)^2} - \frac{U_a^2}{R^2 + (\omega L)^2} \cos 2\omega t \right] = \\ &= (J - V + Q)^2 \frac{1}{c} + \frac{(Q - J - V)^2 \cos(2\omega t - \Psi) \cos 2\omega t}{m \sqrt{(4\omega^2 - \omega_0^2)^2 + \left(\frac{2b\omega}{m}\right)^2}}. \end{aligned} \quad (13)$$

Как видим из (13), постоянная составляющая электрической энергии

$$\frac{1}{4} L \left[ \frac{U_a^2}{R^2 + (\omega L)^2} \right]$$

создает работу смещения якоря в виде

$$(J - V + Q)^2 \frac{1}{c},$$

а переменная составляющая энергии

$$\frac{1}{4} L \frac{U_a^2}{R^2 + (\omega L)^2} \cos 2\omega t$$

равна работе осцилляции якоря в виде

$$\frac{(Q - J - V)^2 \cos(2\omega t - \Psi) \cos^2 2\omega t}{m \sqrt{(4\omega^2 - \omega_0^2)^2 + \left(\frac{2b\omega}{m}\right)^2}}.$$

При  $R \ll \omega L$ , т.е. считаем  $R \approx 0$

$$\left. \begin{aligned} F_{\Sigma} &= \frac{1}{\mu_0 S} \left( \frac{U_a}{\omega w} \right)^2 (1 - \cos 2\omega t) = F_0 - F_{\sim}; \\ F_0 &= \frac{1}{\mu_0 S} \left( \frac{U_a}{\omega w} \right)^2; \\ F_{\sim} &= \frac{1}{\mu_0 S} \left( \frac{U_a}{\omega w} \right)^2 \cos 2\omega t = F_a \cos 2\omega t, \end{aligned} \right\} \quad (14)$$

где  $F_a = \frac{1}{\mu_0 S} \left( \frac{U_a}{\omega w} \right)^2$ .

Подставляя в (13) выражение (14) при  $R \approx 0$ , получим

$$\frac{1}{2} Li^2(t) = \left( \frac{1}{\mu_0 S} \right)^2 \left( \frac{U_a}{\omega w} \right)^4 \frac{1}{c} - \frac{\left( \frac{1}{\mu_0 S} \right)^2 \left( \frac{U_a}{\omega w} \right)^4 \cos(2\omega t - \Psi) \cos 2\omega t}{m^2 \left[ (4\omega^2 - \omega_0^2)^2 + \left( \frac{2b\omega}{m} \right)^2 \right]}. \quad (15)$$

Из (15) видно, что постоянная составляющая

$$\left( \frac{1}{\mu_0 S} \right)^2 \frac{1}{c} \left( \frac{U_a}{\omega w} \right)^4$$

осуществляет постоянное смещение якоря  $x_{0F}$ , а переменная составляющая

$$\left( \frac{1}{\mu_0 S} \right)^2 \left( \frac{U_a}{\omega w} \right)^4 \cos(2\omega t - \Psi) \frac{\cos^2 2\omega t}{m^2 \left[ (4\omega^2 - \omega_0^2)^2 + \left( \frac{2b\omega}{m} \right)^2 \right]}$$

осуществляет колебания якоря  $x_a \cos(2\omega t - \Psi)$ .

При  $R \gg \omega L$

$$F_{\Sigma} = \mu_0 S \left( \frac{iw}{2\delta} \right)^2 = \mu_0 S \left( \frac{I_a w}{2\delta} \right)^2 \sin^2 \omega t = \mu_0 S \left( \frac{U_a w}{2R\delta} \right)^2 \sin^2 \omega t = F_{\Sigma a} (1 - \cos 2\omega t), \quad (16)$$

где  $F_{\Sigma a} = \mu_0 S \left( \frac{U_a w}{2R\delta} \right)^2$ .

Из (16) вытекает, что

$$F_0 = \mu_0 S \left( \frac{U_a w}{2R\delta} \right)^2; \quad F_{\sim} = -\mu_0 S \left( \frac{U_a w}{2R\delta} \right)^2 \cos 2\omega t.$$

В этом случае видно, что энергия

$$(\mu_0 S)^2 \left( \frac{U_a w}{2R\delta} \right)^4 \frac{1}{c},$$

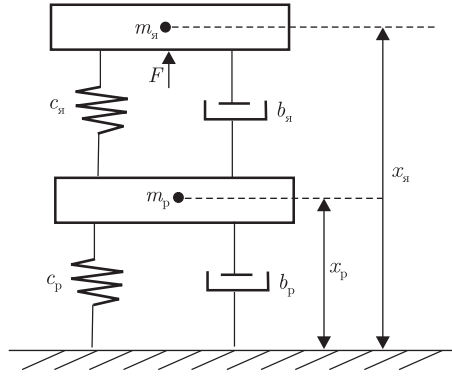


Рис. 3

являясь постоянной величиной, осуществляет смещения якоря  $x_{0F}$ , а переменная составляющая энергии создает вибрацию якоря в ЭМВ

$$\frac{1}{4}L\left(\frac{U_a}{R}\right)^2 \cos 2\omega t,$$

т. е. создает колебания якоря, совершающего работу

$$(\mu_0 S)^2 \left(\frac{U_a w}{2R\delta}\right)^4 \frac{\cos 2\omega t \cos(2\omega t - \varphi)}{m^2 \left[ (4\omega^2 - \omega_0^2)^2 + \left(\frac{2b\omega}{m}\right)^2 \right]}.$$

При рассмотрении ЭМВ с РМ баланс электрической энергии записывается выражением

$$\frac{1}{2}Li^2(t) = F_0(x_{я0} + x_{p0}) + F_{\sim}[x_{я}(t) + x_p(t)], \quad (17)$$

где  $x_{я0}$ ,  $x_{p0}$  — постоянные смещения якоря и реактивной массы соответственно от действия постоянной составляющей  $F_0$  тягового усилия;  $x_{я}(t)$ ,  $x_p(t)$  — переменные перемещения якоря и РМ соответственно от действия переменной составляющей  $F_{\sim}$  тягового усилия. Так как для  $F_0$  и  $F_{\sim}$  выведены аналитически в (11), то для конкретизации (17) определим для ЭМВ с РМ величины  $x_{я0}$ ,  $x_{p0}$ ,  $x_{я}(t)$ ,  $x_p(t)$ . Для этого на рис. 3 представим механическую схему ЭМВ с РМ, где  $m_{я}$ ,  $m_p$  — массы якоря + ВН и РМ соответственно;  $c_{я}$ ,  $c_p$  — коэффициенты жесткости пружин  $Pr_{я}$  и  $Pr_p$  соответственно;  $b_{я}$ ,  $b_p$  — коэффициенты диссипации.

Как видно из рис. 3, колебательная система (КС) ЭМВ с РМ является КС с двумя степенями свободы. Дифференциальные уравнения движения этой КС следующие:

$$\left. \begin{aligned} m_{я} \frac{d^2 x_{я}}{dt^2} + b_{я} \frac{dx_{я}}{dt} + c_{я} x_{я} &= F_0 + F_{\sim} + P_{я} + b_{я} \frac{dx_p}{dt} + c_{я} x_p, \\ m_p \frac{d^2 x_p}{dt^2} + (b_{я} + b_p) \frac{dx_p}{dt} + (c_{я} + c_p) x_p &= P_{\Sigma} + b_{я} \frac{dx_{я}}{dt} + c_{я} x_{я}, \end{aligned} \right\} \quad (18)$$

где  $P_p$  — вес РМ;  $P_{\Sigma} = P_{я} + P_p$ .

Как видно из (18), Я и РМ постоянно смещены на  $x_{я0p}$ ,  $x_{p0p}$  от действия их весов  $P_{я}$  и  $P_{\Sigma}$  и также смещаются в воздушном зазоре  $\delta_0$  на  $x_{я0F}$ ,  $x_{p0F}$  от действия постоянной

составляющей  $F_0$  тягового усилия в ЭМВ с РМ и сил влияния Я и РМ друг на друга, т. е. суммарные смещения Я и РМ имеют вид

$$\left. \begin{aligned} x_{я0\Sigma} &= x_{я0p} + x_{p0p}, \\ x_{я0A} &= x_{я01} + x_{p0xp}, \\ x_{p0\Sigma} &= x_{p0p} + x_{p0xя}, \end{aligned} \right\}$$

где

$$x_{я0p} = \frac{P_я}{c_я}; \quad x_{я01} = \frac{F_0}{c_я}; \quad x_{я0xp} = \frac{c_я x_{p0F}}{c_я}; \quad x_{p0p} = \frac{P_\Sigma}{c_я + c_p}; \quad x_{p0xя} = \frac{c_я x_{я0F}}{c_я + c_p}.$$

Выражения  $x_{я0p}$  и  $x_{p0p}$  в функции коэффициентов  $c_я$ ,  $c_p$  и весов  $P_я$ ,  $P_\Sigma$  следующие:

$$\begin{aligned} x_{я0p} &= P_я \left( \frac{1}{c_p} + \frac{1}{c_я} \right) + \frac{P_\Sigma}{c_p}; \\ x_{p0p} &= \frac{1}{c_я + c_p} \left\{ P_\Sigma + c_я \left[ P_я \left( \frac{1}{c_p} + \frac{1}{c_я} \right) + \frac{P_\Sigma}{c_p} \right] \right\}. \end{aligned}$$

Величины смещений  $x_{я0F}$ ,  $x_{p0F}$  имеют аналитический вид

$$x_{я0F} = F_0 \left( \frac{1}{c_я} + \frac{1}{c_p} \right), \quad x_{p0F} = \frac{F_0}{c_p}. \quad (19)$$

Переменные величины  $x_я(t)$ ,  $x_p(t)$  определяются в виде

$$\left. \begin{aligned} x_я(t) &= x_{ая} \cos(2\omega t - \Psi), \\ x_p(t) &= x_{ар} \cos(2\omega t - \Psi - \Psi_p), \end{aligned} \right\} \quad (20)$$

где  $\Psi_p$  — угол сдвига между  $x_я(t)$  и  $x_p(t)$ ;  $\Psi_p = \arctg(b_я + b_p)\omega / (m_p(4\omega^2 - \omega_p^2))$ , выражение для  $\Psi$  дано ранее.

Амплитуды  $x_{ая}$ ,  $x_{ар}$  записываются соотношениями

$$\begin{aligned} x_{ая} &= \frac{|F_\sim + b_я \dot{x}_p(t) + c_я x_p(t)|}{m_я \left[ (4\omega^2 - \omega_{0я}^2)^2 + \left( \frac{2b_я\omega}{m_я} \right)^2 \right]}, \\ x_{ар} &= \frac{|b_я \dot{x}_я(t) + c_я x_я(t)|}{m_p \left[ (4\omega^2 - \omega_{0p}^2)^2 + \left[ \frac{2\omega(b_я + b_p)}{m_p} \right]^2 \right]}. \end{aligned}$$

Здесь  $\dot{x} = dx/dt$ ;  $\omega_{0я}$ ,  $\omega_{0p}$  — собственные частоты колебаний якоря и РМ соответственно.

Подставляя в (20) аналитические выражения (11), (19), (20), получим баланс электрической энергии в ЭМВ с РМ. Причем правая часть (17) является конкретизацией произведенной работы в ЭМВ с РМ от действия электрической энергии  $W_e = (1/2)Li^2(t)$ .

Таким образом, в результате проведенного исследования показано, какие части энергии в ЭМВ расходуются на потери, какие части электрической энергии совершают работу якоря по смещению его в зазоре и какие части расходуются на создание вибрации якоря. Для всех указанных составляющих выведены аналитические выражения.



1. Любчик М. А. Оптимальное проектирование силовых электромагнитных механизмов. – Москва: Энергия, 1974. – 392 с.
2. Бронштейн И. Н., Семендяев К. А. Справочник по математике. – Москва: ГИТТЛ, 1956. – 608 с.
3. Ступель Ф. А. Электромеханические реле. – Харьков: Изд-во Харьк. гос. ун-та, 1956. – 355 с.
4. Божко А. Е., Голуб Н. М. Динамико-энергетические связи колебательных систем. – Киев: Наук. думка, 1980. – 188 с.

*Институт проблем машиностроения  
им. А. Н. Подгорного НАН Украины, Харьков*

*Поступило в редакцию 03.03.2008*

Corresponding Member of the NAS of Ukraine **A. E. Bozhko**

**To the analysis of the rotor motion energy of an electromagnetic vibroexciter**

*The analytical relations between the work and the input electrical energy in an electromagnetic vibroexciter are given.*